

東アジア地域に生息するアラムシロ *Nassarius festivus* の 分子系統学的研究

香取 祥人¹・坂田 健²・林 誠司³・久保 弘文⁴

(1 天草市立御所浦白亜紀資料館 〒 866-0313 熊本県天草市御所浦町御所浦 4310-5)

(2 群馬県立前橋東高等学校 〒 371-0002 群馬県前橋市江木町 800)

(3 名古屋大学大学院環境学研究科 〒 464-8601 愛知県名古屋市千種区不老町 D2-2)

(4 沖縄県水産海洋研究センター 〒 901-0354 沖縄県糸満市字喜屋武 1528)

Molecular phylogenetic study of *Nassarius festivus* in East Asia

Yoshito Kandori¹, Ken Sakata², Seiji Hayashi³, Hirofumi Kubo⁴

(1 Goshoura Cretaceous Museum, 4310-5 Goshoura, Goshoura Town, Amakusa City, Kumamoto 866-0313, Japan)

(2 Maebashi Higashi Highschool, 800 Egi Town, Maebashi City, Gunma 371-0002, Japan)

(3 Graduate School of Environmental Studies, Nagoya University, D2-2 Furo Town, Chikusa-ku, Nagoya City, Aichi 464-8601, Japan)

(4 Okinawa Prefectural Fisheries Research and Extension Center, 1528 Kyan, Itoman City, Okinawa 901-0354, Japan)

Abstract

Nassarius festivus (Nassariidae: Gastropoda) is the most common marine scavenger with an extensive range throughout the East and Southeast Asia. Recent studies on genetic variation of nassariid gastropods in China have revealed two divergent lineages within this species; however, little is known about its phylogeographic structure and demographic history. To address this point more extensively, we performed a molecular phylogenetic analysis by combining our newly sequenced mitochondrial COI gene fragment in 180 individuals (from mainland Japan, Okinawa and China) with published data (239 individuals in total). The results revealed two distinct clusters: one lineage comprised individuals restricted to China (A) and the other comprised individuals from mainland Japan and Okinawa, with a small number of Chinese individuals (B). Large genetic differences were observed between these two divergent clusters because of a probable split of the ancestral population between China and Japan. Sporadic existence of Chinese individuals in cluster B may represent post-vicariant dispersal from Japan to China. Most Okinawa individuals were present in the peripheral part of cluster B, indicating that they represent a stochastically introduced population from mainland Japan, possibly via coastal China.

Keywords: *Nassarius festivus*, mitochondrial DNA, COI, Japan, China

はじめに

アラムシロ *Nassarius festivus* (Powys, 1835) はオリイレヨフバイ科に属する腐肉食性の腹足類であり、北海道以南の日本、琉球列島、韓国、中国、台湾、フィリピンに分布する（黒田ほか, 1971; 久保, 1995）。本種は干潟や河口域などの潮間帯に生息し、「掃除屋」として干潟環境の保全に貢献している。アラムシロは東アジアの潮間帯生態系における重要種である。

るにもかかわらず、分子系統学的な見地からの研究がほとんど存在しない。近年では Zou *et al.* (2012) が本種内に 2 つの系統が存在することを示したが、この研究ではサンプルの分布域が中国大陆沿岸に限られており、また用いられた個体数も十分とは言えず、種内全体における系統関係の解明には、より詳細な研究が必要である。

香取による研究（未発表データ）によって、日本本土のアラムシロ集団と、中国大陆沿岸の一地域である香港の集団では殻のプロポーションに有意な差があることが判明しているが、形態的に差異のある両者の間に遺伝的な隔たりが存在するのかどうかは明らかになっていない。

また久保（2005）は、本種は沖縄においてはマテガイ *Solen strictus* Gould, 1861, タマキビ *Littorina brevicula* (Philippi, 1844), ソトオリガイ *Laternula marilina* (Reeve, 1863) などと共に羽地内海と塩屋湾のみに生残した大陸系遺存種と考えられ、大陸沿岸域や日本本土の個体群とは遺伝的に分化している可能性が高く、琉球列島の干潟環境の成立を探る上で貴重である、としている。

そこで本研究では、日本本土、琉球列島、中国大陆沿岸間におけるアラムシロの系統関係を明らかにするため、ミトコンドリア DNA cytochrome oxidase subunit I 領域（以下 COI）を用いて分子系統学的研究を行った。

材料と手法

1) サンプルの採集

2006 年から 2011 年にかけて合計 180 個体のアラムシロ *N. festivus* を採集した。サンプリング地点は、日本本土 6 地点（宮城県本吉郡南三陸町、宮城県石巻市万石浦、千葉県市川市三番瀬、三重県松阪市松名瀬、岡山県倉敷市、鹿児島県垂水市）、琉球列島 1 地点（沖縄県名護市羽地湾）、香港 4 地点（海星湾 [Star Fish Bay]、東涌 [Tung Chung]、大潭 [Tai Tam]、黄竹湾 [Wong Chuk Bay]）の計 11 地点である。サンプルの採集地点や個体数などの詳細は、Zou *et al.* (2012) の解析個体のデータとともに、図 1 に記している。

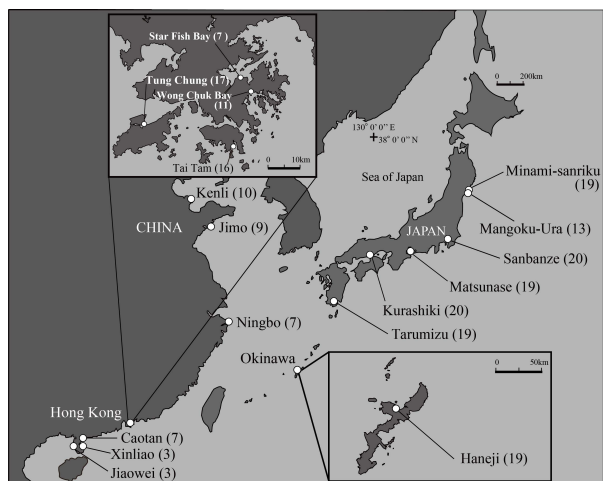


図 1. サンプリングマップ

小括弧内の数字はその地点の個体数を示す。

2) DNA 抽出と增幅、配列決定

最初に、殻口内部よりサンプルの軟体部を剥離したのち、軟体部腹足部より約 50 mg の筋肉をメスによって切り出した。その後 High Pure PCR template preparation kit (Roche Diagnostics) もしくは Chelex method (Aranishi & Okimoto, 2006) により全 DNA の抽出を行った。

本研究に用いた領域はミトコンドリア DNA COI 領域の 590 塩基対であり、この領域をポリメラーゼ連鎖反応 (PCR) によって増幅した。プライマーには LCO1490 (5'-GGTCAACAAATCATAAAGATATTGG-3') および HCO2198 (5'-TAAACTTCAGGGTGACCAAAA AATCA-3') (Folmer *et al.*, 1994) を用いた。PCR 条件は、94 °C で 3 分間の pre-denature ののち、94°C で 30 秒、50°C で 30 秒、72°C で 60 秒を 35 サイクル行い、最後に 72 °C で 1 分間 final extension を行った。

High Pure PCR product purification kit (Roche Diagnostics) によって PCR 産物の精製を行ったのち、ABI PRISM BigDye terminators version 3.0 Cycle sequencing Kit (Applied Biosystems) を用いて双方향よりサイクルシーケンシングを行った。シーケンシングプライマーには PCR に用いたプライマーと同じ物を用いた。それらの反応物の配列決定は、名古屋大学 遺伝子実験施設の ABI3100 automated DNA sequencer (Applied Biosystems) によるシーケンス解析サービスに委託した。

決定された DNA 配列は、Sequencher 4.1 (Gene Codes, Ann Arbor, MI) によって編集、コンティグの作成を行った後、MacClade 4.03 PPC (Maddison & Maddison, 2001) を使用しアライメントとユニークなハプロタイプ（遺伝子型）の特定を行った。

3) 系統解析

本研究で決定した配列に、Zou *et al.* (2012) の中国大陆沿岸 6 地点（山東省墾利 [Kenli], 山東省即墨 [Jimo], 浙江省寧波 [Ningbo], 広東省草潭鎮 [Caotan], 広東省新寮島 [Xinliao], 広東省角尾湾 [Jiaowei]），39 個体のデータを加え、解析に用いた。本研究では系統解析に即し、ハプロタイプネットワークと 2 種の手法（最尤法：以下 ML 法、およびベイズ法）で作成された系統樹を使用した。ハプロタイプネットワークでは、NETWORK 4.5.1.6 および Network Publisher 1.2.0.0 (Fluxus Technology Ltd.) を用い、中点連結ネットワークを作成した（図 2）。ML 系統樹の作成には PhyML 3.0 (Guindon & Gascuel, 2003; Guindon *et al.*, 2005) を用い、ベイズ系統樹の作成には MrBayes v.3.1.2 (Ronquist & Huelsenbeck, 2003) を使用した。ベイズ法における系統解析のモデル選択には MrModeltest 2.3 (Nylander, 2008) を用い、モデルには HKY+G が選ばれた。

結果

本研究における解析個体数は前述の通り 219 (新たな採集個体 180, Zou *et al.* (2012) のデータから 39) であるが、重複するハプロタイプを統合した結果、そのハプロタイプ数は合計で 92 となった。

ハプロタイプネットワークは、大きく二つのクラスター A と B に分かれた。クラスター A は中国大陆沿岸の集団のみから構成されるが、山東省の個体はほとんど含まない。一方クラスター B はすべての日本本土、沖縄集団の個体を含み、さらに山東省の集団のほとんどがこのクラスターに含まれ、広東省や香港の個体も少数含まれている。この両クラスター間のギャップは非常に大きく、25 の塩基置換で隔てられている (図 2)。

また、クラスター B の内部は大きく 2 つのサブクラスターに分けることができ、それぞれサブクラスター Ba, Bb と呼称する。サブクラスター Ba は主に東日本の集団および沖縄の全個体、中国大陆沿岸の

集団からなるが、一方のサブクラスター Bb は主に西日本の集団からなり、少数の東日本の集団の個体を含むものの、沖縄や中国大陆沿岸の集団は含まれない (図 2)。

2 種類作成した系統樹はハプロタイプネットワークとおおむね調和的であり、その結果を支持するものであった。すべての系統樹でクラスター A、クラスター B (および 2 つのサブクラスター) が単系統で再現された。各クラスターの支持率 (ブートストラップ値、事後確率による) は、メインクラスターである A と B に関しては高い水準であったが、サブクラスター Ba と Bb については支持率が低く、この分化に関しては不確定な部分が残った。

考察

本研究の結果からは、東アジア地域におけるアラムシロの系統においていくつかの新知見が得られたのでそれについて論じたい。

東アジア全体で一つの種と考えられていた“アラムシロ”の中に 2 つの系統が存在するということは Zou *et al.* (2012) で既に明らかにされていたが、彼らの研究では解析対象が中国大陆沿岸内の集団だけに限定されていたため、この 2 系統が「中国大陆沿岸集団のみから構成される系統」と、「日本本土、沖縄、一部の中国大陆沿岸集団（主に山東省）からなる系統」であることは、今回初めて明らかとなった。ハプロタイプネットワークにおけるクラスター間の距離を見る限り、両者が同一種であるとは考えにくく、定量的な議論のため Meyer & Paulay (2005) の手法に従い両系統間の遺伝的距離を推測したところ、その距離は 0.060 となった。これは同論文中の図表によると別種間の距離に相当する (図 3)。

両者の分化の時期や過程については、追加の解析や詳細な検討が必要となるので本論においては軽く触れておくに留めたい。まず分化の時期については、COI 遺伝子を分子時計として用い、その変異速度と

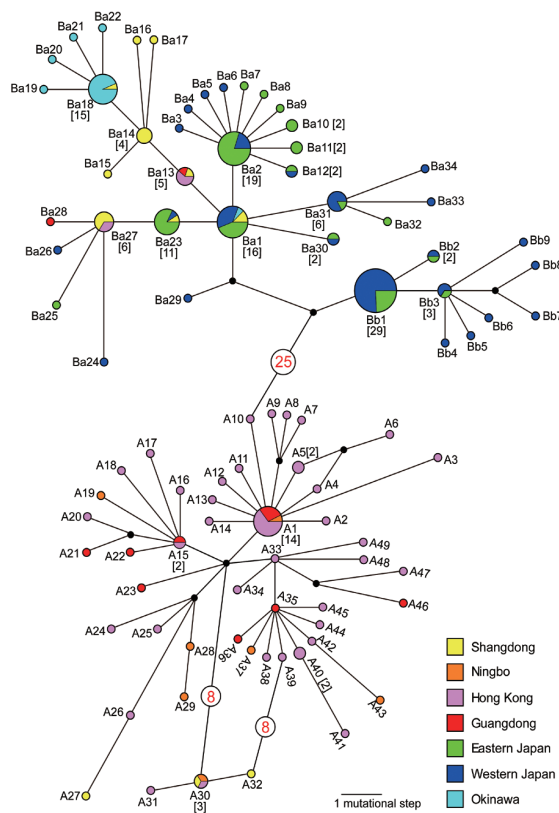


図 2. 中点連結ハプロタイプネットワーク

円の面積は同一ハプロタイプ内の個体数に比例している。括弧内数字はハプロタイプ内に含まれる個体数。実線は隣接するハプロタイプとの塩基置換数を示すが、長大なものは省略し赤数字でその距離を示している。実線上の黒丸は推測される仮想的な突然変異のステップ。

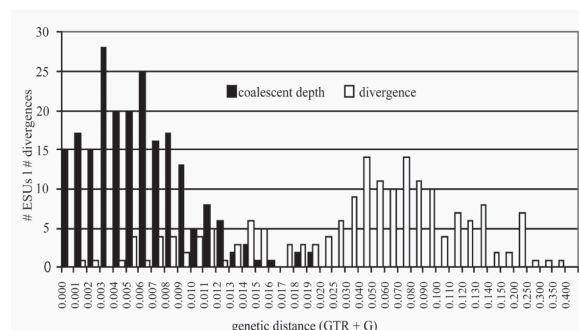


図 3. タカラガイ科の ESU (Evolutionary Significant Unit : 進化的重要単位) 間・内の遺伝的距離の頻度分布 (Meyer & Paulay, 2005 より引用改変)

して約 2.4%/Myr を適用すると (Hellberg & Vacquier, 1999), 両系統の分化はおよそ 250 万年前に起こったと推定される。この時期は、沖縄トラフの拡大初期や慶良間ギャップの形成時期に相当し (井上, 2007), これらの地史的イベントが両者の分化に関与していると考えられる。

次に、日本本土与中国大陸沿岸との遺伝的交流の可能性について考察する。中国大陆沿岸の集団から日本型のハプロタイプが見つかっている (図 2. ハプロタイプ Ba13, 14, 27 など) ことから、日本本土との間に何らかの遺伝的交流があることが考えられる。このような系統地理学的パターンは、植物 (Lee *et al.*, 2013) や、陸貝 (Miura *et al.*, 2013) でも報告されており、その原因を更新世中期から後期の東シナ海の陸橋を介した、日本列島から大陸への集団の移動にあると推定している。

アラムシロの場合、戦前～戦中における大陸への入植に伴う人為的移入の可能性を完全に排除はできないが、山東省におけるサブクラスター Ba の出現比率の高さ (16/19) を考慮すると、陸橋を経由した自然移入のほうが無理のない解釈といえる。

最後に沖縄のアラムシロについて論じたい。沖縄の集団は前述の通り大陸沿岸系遺存種であると考えられていたが、今回の結果によれば日本本土の集団と同じ系統に属しており、大陸系遺存種であるとは考えにくい。

沖縄集団のハプロタイプのほとんどは、日本本土のハプロタイプが優占的で、かつ内側に配置されるサブクラスター Ba において、末端部に放射状クラスターとして内包されている。このことは過去における集団の極端な縮小によるボトルネックか、少數個体の移入による創始者効果によるものと推察される。

沖縄集団の中に、サブクラスター Ba の祖先的なハプロタイプである Ba1 を持つ個体が確認されているものの、大半は最も派生的な部分に位置する Ba18 群 (Ba18 と放射状クラスターを形成する 4 つのハプロタイプ) から構成されているため、サブクラスター Ba の分化直後から沖縄で存続した遺存的集団ではなく、二次的移入を起源とする集団である可能性が高い。

これらをふまえ、人為的移入と自然移入の可能性について議論をしてみる。まず人為的移入については、沖縄の水産種苗の流通史等を確認する必要があるが、Ba18 群が单一のハプロタイプから分化したとすれば、一般的な進化速度から考えると有史以降の人為的移入の可能性は低い。

次に自然移入の可能性を考えてみる。アラムシロは、4–5 週間程度の浮遊幼生期間を持つので (網尾,

1957)，潮流に乗って長距離を移動することは可能である。問題は日本本土や大陸沿岸から沖縄本島への自然移入が、海況的に可能かどうかである。藤枝ほか (2014) による漂着ライターを用いた分析によれば、少數ではあるが日本本土と大陸からの漂着ライターが、沖縄本島及び琉球列島まで到達している。ライターと浮遊幼生の潮流中の挙動は異なるので、参考程度の傍証であるが、陸域の範囲が拡がる低海水準期であれば自然移入のチャンスはより大きくなるであろう。なお、本研究のハプロタイプネットワークでは、沖縄個体の大半が属する Ba18 群は山東省固有のハプロタイプより派生しており、かつ Ba18 を有する個体が山東省から一個体見つかっている。現段階では、沖縄集団の起源について日本本土～中国大陆沿岸経由の移入が示唆されるが、個体数とサンプリングポイントを増やした上の検証が必要と思われる。

まとめ

東アジア地域の 2ヶ国 11 地点より 180 個体のアラムシロを採集、ミトコンドリア DNA COI 領域 590 塩基対を配列決定し、先行研究の 6 地点 39 個体分のデータと合わせ、計 219 個体のデータに基づくハプロタイプネットワークおよび 2 種類の系統樹により系統解析を行った。その結果、東アジア地域のアラムシロは、別種レベルに相当する 2 つのクラスター A, B に大きく分かれることが判明した。クラスター A は中国大陆沿岸集団のみから構成され、B は日本本土、沖縄集団の全てと少數の中国大陆沿岸集団 (主に山東省) から構成された。クラスター B 内はさらに 2 つのサブクラスター Ba および Bb に分けられ、前者は東日本の集団を主に、沖縄、中国大陆沿岸の集団を含み、後者は西日本の集団を主として、日本本土の個体のみから構成されている。また、ハプロタイプネットワークの樹形から、大陸系の遺存種と考えられてきた沖縄のアラムシロは、日本本土の集団から派生し、琉球列島へ移入したと推定される。これらは日本列島や琉球列島の地史的変遷によって引き起こされたものと考えられるが、分化・移動の時期やプロセスの議論のためには、さらなるデータや解析の追加が必要である。

謝 辞

本研究の一部は、日本学術振興会の「組織的な若手研究者等海外派遣プログラム」(名古屋大学環境学研究科「基礎環境学を担う若手人材育成プログラム」) の支援を受けて行った。

また、本研究を進めるにあたり、多くの方々にご協力をいただいた。野外でのサンプルや現地情報の

収集に当たっては、東邦大学理学部大越健嗣博士、南三陸町自然環境活用センター太齋彰浩氏（現・南三陸町企画課）、アクアリサーチラボ生森佳治氏、香港城市大学張肇堅博士、香港大学 Gray A. Williams 博士（順不同）に協力いただきました。議論にあたっては、名古屋大学大学院環境学研究科生物圈進化学研究室の皆様や、御所浦白亜紀資料館の皆様に多くの的確な助言をいただきました。

以上の方々に深く感謝致します。

引用文献

- 網尾 勝 (1957) : アラムシロ *Tritia (Hinia) festivus* (Powys), ムシロガイ *Nassarius livescens* (Philippi) の卵嚢及び孵化幼生に就いて. 水産講習所研究業績, **6** (2), p.123–132.
- Aranishi, F. and Okimoto, T. (2006) : A simple and reliable method for DNA extraction from bivalve mantle. *Journal of Applied Genetics*, **47** (3), p.251–254.
- Folmer, O., Black, M., Hoeh, W., Lutz, R. and Vrijenhoek, R. (1994) : DNA primers for amplification of mitochondrial cytochrome c oxidase subunit I from diverse metazoan invertebrates. *Molecular Marine Biology and Biotechnology*, **3** (5), p.294–299.
- 藤枝 繁・大倉よし子・小島あずさ (2014) : 漂着ディスポーザブルライターの流出地と漂着地の関係から求めた日本沿岸における漂着物の流れ. 漂着物学会誌, **12**, p.29–42.
- Guindon, S. and Gascuel, O. (2003) : A simple, fast, and accurate algorithm to estimate large phylogenies by maximum likelihood. *Systematic Biology*, **52** (5), p.696–704.
- Guindon, S., Lethiec1, F., Duroux1, P. and Gascuel, O. (2005) : PHYML Online - a web server for fast maximum likelihood-based phylogenetic inference. *Nucleic Acids Research*, **33**, p.557–559.
- Hellberg, ME. and Vacquier, VD. (1999) : Rapid evolution of fertilization selectivity and Lysin cDNA sequences in tegulin gastropods. *Molecular Biology and Evolution*, **16** (6), p.839–848.
- 井上卓彦 (2007) : 東シナ海における地質構造発達史－研究レビュー. 地質ニュース, (633), p.37–44.
- 久保弘文 (1995) : 海の貝・川の貝. In 生態 / 検索図鑑 沖縄の海の貝・陸の貝, 沖縄出版, p.15–210.
- 久保弘文 (2005) : アラムシロ. In 改訂・沖縄県の絶滅の恐れのある野生生物 (動物編) –レッドデータ沖縄-, 沖縄県, p.359–360.
- 黒田徳米・波部忠重・大山桂 (1971) : 相模湾産貝類. 生物学御研究所, 741p.
- Lee, JH., Lee, DH. and Choi, BH. (2013) : Phylogeography and genetic diversity of East Asian *Neolitsea sericea* (Lauraceae) based on variations in chloroplast DNA sequences. *Journal of Plant Research*, **126** (2), p.193–202.
- Maddison, DR. and Maddison, WP. (2000) : MacClade 4. analysis of phylogeny and character evolution. Sinauer Associates, Sunderland, Massachusetts.
- Meyer, CP. and Paulay, G. (2005) : DNA barcoding: error rates based on comprehensive sampling. *PLoS Biology*, **3** (12), p.2229–2238.
- Miura, O., Köhler, F., Lee, T., Li, J. and Foighil, DÓ. (2013) : Rare, divergent Korean *Semisulcospira* spp. Mitochondrial haplotypes have Japanese sister lineages. *Journal of Molluscan Studies*, **79**, p.86–89.
- Nylander, J. (2008) : MrModeltest 2.3 (program for selecting DNA substitution models using PAUP*). Uppsala, Sweden: Evolutionary Biology Centre.
- Ronquist, F. and Huelsenbeck, JP. (2003) : MrBayes 3: Bayesian phylogenetic inference under mixed models. *Bioinformatics*, **19** (12), p.1572–1574.
- Zou, S., Li, Q. and Kong, L. (2012) : Monophyly, distance and character-based multigene barcoding reveal extraordinary cryptic diversity in *Nassarius*: A complex and dangerous community. *PLOS ONE*, **7** (10), p.1–9.

(2016年1月31日受理)

付録 1. 本論図中ハプロタイプの実験ナンバー (Voucher No.)・産地・Accession No.・出典の対応表

図中のハプロタイプ				実験サンバー(個体ID)					
	Accession no.	Reference	产地		Accession no.	Reference	产地		
A1	Na126 (NUGB-NA0117)	Star Fish Bay, Hong Kong, China	AB642667	This study	Ba006 (NUGB-NA0058)	Sanbanze, Chiba, Japan	AB642615	This study	
	NaT001 (NUGB-NA0119)	Tung Chung, Hong Kong, China	AB642667	This study	Ba067 (NUGB-NA0059)	Sanbanze, Chiba, Japan	AB642615	This study	
	NaT006 (NUGB-NA0124)	Tung Chung, Hong Kong, China	AB642667	This study	Ba004 (NUGB-NA0003)	Mangoku-Ura, Miyagi, Japan	AB642606	This study	
	NaT015 (NUGB-NA0131)	Tung Chung, Hong Kong, China	AB642667	This study	Ba035 (NUGB-NA0028)	Mimami-sanriku, Miyagi, Japan	AB642606	This study	
	NaTT010 (NUGB-NA0142)	Tai Tam, Hong Kong, China	AB642667	This study	Ba056 (NUGB-NA0048)	Matsunaze, Mie, Japan	AB642618	This study	
	NaT015 (NUGB-NA0146)	Tai Tam, Hong Kong, China	AB642667	This study	Ba072 (NUGB-NA0064)	Sanbanze, Chiba, Japan	AB642618	This study	
	NaWC004 (NUGB-NA0155)	Wong Chuk Bay, Hong Kong, Chin	AB642667	This study	Ba125 (NUGB-NA0116)	Star Fish Bay, Hong Kong, China	AB642653	This study	
	NaWC009 (NUGB-NA0159)	Wong Chuk Bay, Hong Kong, Chin	AB642667	This study	NaTT004 (NUGB-NA1036)	Tai Tam, Hong Kong, China	AB642653	This study	
	JGA1 (LSGB23401A1)	Jiaosui, Guangdong, China	JQ975431	Zou et al., (2012)	NaTT016 (NUGB-NA1047)	Tai Tam, Hong Kong, China	AB642653	This study	
	XG02 (LSGB23401C2)	Xinliao, Guangdong, China	JQ975432	Zou et al., (2012)	XG01 (LSGB23401C1)	Xinliao, Guangdong, China	JQ975449	Zou et al., (2012)	
	JGA2 (LSGB23401A2)	Jiaosui, Guangdong, China	JQ975433	Zou et al., (2012)	KSD12 (LSGB23401D12)	Kerli, Shandong, China	JQ975449	Zou et al., (2012)	
	CGE7 (LSGB23401E7)	Caotan, Guangdong, China	JQ975434	Zou et al., (2012)	JSB6 (LSGB23401B6)	Jimo, Shandong, China	JQ975444	Zou et al., (2012)	
	NZF8 (LSGB23401F8)	Ningbo, Zhejiang, China	JQ975435	Zou et al., (2012)	KSD6 (LSGB23401D6)	Kerli, Shandong, China	JQ975454	Zou et al., (2012)	
	NaT009 (NUGB-NA0125)	Tung Chung, Hong Kong, China	AB642643	This study	JSB4 (LSGB23401B4)	Jimo, Shandong, China	JQ975454	Zou et al., (2012)	
A2	NaWC012 (NUGB-NA0162)	Wong Chuk Bay, Hong Kong, Chin	AB642671	This study	KSD4 (LSGB23401D4)	Kerli, Shandong, China	JQ975452	Zou et al., (2012)	
A3	NaT003 (NUGB-NA0121)	Tung Chung, Hong Kong, China	AB642667	This study	KSD5 (LSGB23401D5)	Kerli, Shandong, China	JQ975453	Zou et al., (2012)	
A4	NaT009 (NUGB-NA0152)	Tai Tam, Hong Kong, China	AB642659	This study	KSD7 (LSGB23401H7)	Kerli, Shandong, China	JQ975449	Zou et al., (2012)	
A5	NaT008 (NUGB-NA0140)	Wong Chuk Bay, Hong Kong, Chin	AB642658	This study					
A6	NaT009 (NUGB-NA0152)	Tai Tam, Hong Kong, China	AB642657	This study					
A7	NaT011 (NUGB-NA0143)	Tai Tam, Hong Kong, China	AB642659	This study					
A8	NaT014 (NUGB-NA0130)	Tung Chung, Hong Kong, China	AB642648	This study					
A9	NaT14 (NUGB-NA0125)	Star Fish Bay, Hong Kong, China	AB642637	This study					
A10	NaTT019 (NUGB-NA0160)	Tai Tam, Hong Kong, China	AB642664	This study					
A11	NaWC007 (NUGB-NA0157)	Wong Chuk Bay, Hong Kong, Chin	AB642668	This study					
A12	NaT017 (NUGB-NA0147)	Tai Tam, Hong Kong, China	AB642652	This study					
A13	NaT012 (NUGB-NA0128)	Tung Chung, Hong Kong, China	AB642646	This study					
A14	NaT006 (NUGB-NA0183)	Tai Tam, Hong Kong, China	AB642655	This study					
A15	NaT005 (NUGB-NA0123)	Tung Chung, Hong Kong, China	AB642642	This study					
A16	CGE6 (LSGB23401E6)	Caotan, Guangdong, China	JQ975440	Zou et al., (2012)					
A17	NaTC013 (NUGB-NA0129)	Tung Chung, Hong Kong, China	AB642647	This study					
A18	Na123 (NUGB-NA0114)	Star Fish Bay, Hong Kong, China	AB642636	This study					
A19	NZF5 (LSGB23401F5)	Ningbo, Zhejiang, China	JQ975441	Zou et al., (2012)					
A20	NaTC016 (NUGB-NA0132)	Tung Chung, Hong Kong, China	AB642649	This study					
A21	CGE1 (LSGB23401E1)	Caotan, Guangdong, China	JQ975421	Zou et al., (2012)					
A22	XG03 (LSGB23401C3)	Xinliao, Guangdong, China	JQ975439	Zou et al., (2012)					
A23	CGE4 (LSGB23401E4)	Caotan, Guangdong, China	JQ975430	Zou et al., (2012)					
A24	NaTT020 (NUGB-NA0151)	Tai Tam, Hong Kong, China	AB642665	This study					
A25	Na121 (NUGB-NA0112)	Star Fish Bay, Hong Kong, China	AB642634	This study					
A26	NaTC017 (NUGB-NA0133)	Tung Chung, Hong Kong, China	AB642650	This study					
A27	JSB3 (LSGB23401B1)	Jimo, Shandong, China	JQ975438	Zou et al., (2012)					
A28	NZF7 (LSGB23401F7)	Ningbo, Zhejiang, China	JQ975436	Zou et al., (2012)					
A29	NaTT018 (NUGB-NA0149)	Tai Tam, Hong Kong, China	AB642663	This study					
A30	JSB8 (LSGB23401B8)	Tai Tam, Hong Kong, China	JQ975433	Zou et al., (2012)					
	NZF3 (LSGB23401F3)	Ningbo, Zhejiang, China	JQ975424	Zou et al., (2012)					
A31	NaK011 (NUGB-NA0161)	Wong Chuk Bay, Hong Kong, Chin	AB642670	This study					
A32	JSB3 (LSGB23401B2)	Jimo, Shandong, China	JQ975432	Zou et al., (2012)					
A33	NaT012 (NUGB-NA0144)	Tai Tam, Hong Kong, China	AB642650	This study					
A34	NaT019 (NUGB-NA0135)	Tung Chung, Hong Kong, China	AB642652	This study					
A35	CGE3 (LSGB23401E3)	Caotan, Guangdong, China	JQ975426	Zou et al., (2012)					
A36	JGA3 (LSGB23401A3)	Jiaosui, Guangdong, China	JQ975425	Zou et al., (2012)					
A37	NZF2 (LSGB23401F2)	Ningbo, Zhejiang, China	JQ975427	Zou et al., (2012)					
A38	NaWC009 (NUGB-NA0126)	Tung Chung, Hong Kong, China	AB642644	This study					
A39	NaWC003 (NUGB-NA0154)	Wong Chuk Bay, Hong Kong, Chin	AB642666	This study					
A40	Na122 (NUGB-NA0113)	Star Fish Bay, Hong Kong, China	AB642635	This study					
A41	NaWC002 (NUGB-NA0153)	Tung Chung, Hong Kong, Chin	AB642635	This study					
A42	NaT005 (NUGB-NA0145)	Tai Tam, Hong Kong, China	AB642661	This study					
A43	NZF6 (LSGB23401F6)	Ningbo, Zhejiang, China	JQ975428	Zou et al., (2012)					
A44	NaTC004 (NUGB-NA0122)	Tung Chung, Hong Kong, China	AB642641	This study					
A45	NaTC002 (NUGB-NA0120)	Tung Chung, Hong Kong, China	AB642639	This study					
A46	CGE2 (LSGB23401B2)	Caotan, Guangdong, China	JQ975429	Zou et al., (2012)					
A47	NaTT007 (NUGB-NA0139)	Tai Tam, Hong Kong, China	AB642656	This study					
A48	NaWC010 (NUGB-NA0160)	Wong Chuk Bay, Hong Kong, Chin	AB642669	This study					
A49	NaTC018 (NUGB-NA0134)	Tung Chung, Hong Kong, China	AB642651	This study					
Ba1	NaD36 (NUGB-NA0029)	Minami-sanriku, Miyagi, Japan	AB642613	This study	Ba19	(NUGB-NA006)	Hanlei, Okinawa, Japan	AB642670	This study
	NaD37 (NUGB-NA0029)	Minami-sanriku, Miyagi, Japan	AB642613	This study	Ba20	(NUGB-NA018)	Hanlei, Okinawa, Japan	AB642676	This study
	NaD38 (NUGB-NA0029)	Minami-sanriku, Miyagi, Japan	AB642613	This study	Ba21	(NUGB-NA0178)	Hanlei, Okinawa, Japan	AB642674	This study
	NaD39 (NUGB-NA0029)	Minami-sanriku, Miyagi, Japan	AB642613	This study	Ba22	(NUGB-NA0176)	Hanlei, Okinawa, Japan	AB642675	This study
	NaD40 (NUGB-NA0029)	Minami-sanriku, Miyagi, Japan	AB642613	This study	Ba23	(NUGB-NA010)	Hanlei, Okinawa, Japan	AB642675	This study
	NaD41 (NUGB-NA0029)	Minami-sanriku, Miyagi, Japan	AB642613	This study					
	NaD42 (NUGB-NA0029)	Minami-sanriku, Miyagi, Japan	AB642613	This study					
	NaD43 (NUGB-NA0029)	Minami-sanriku, Miyagi, Japan	AB642613	This study					
	NaD44 (NUGB-NA0037)	Matsunaze, Mie, Japan	AB642613	This study					
	NaD45 (NUGB-NA0031)	Matsunaze, Mie, Japan	AB642613	This study					
	NaD46 (NUGB-NA0032)	Sanbanze, Chiba, Japan	AB642613	This study					
	NaD47 (NUGB-NA0033)	Sanbanze, Chiba, Japan	AB642613	This study					
	NaD48 (NUGB-NA0034)	Sanbanze, Chiba, Japan	AB642613	This study					
	NaD49 (NUGB-NA0035)	Sanbanze, Chiba, Japan	AB642613	This study					
	NaD50 (NUGB-NA0036)	Sanbanze, Chiba, Japan	AB642613	This study					
	NaD51 (NUGB-NA0037)	Sanbanze, Chiba, Japan	AB642613	This study					
	NaD52 (NUGB-NA0038)	Sanbanze, Chiba, Japan	AB642613	This study					
	NaD53 (NUGB-NA0039)	Sanbanze, Chiba, Japan	AB642613	This study					
	NaD54 (NUGB-NA0039)	Sanbanze, Chiba, Japan	AB642613	This study					
	NaD55 (NUGB-NA0039)	Sanbanze, Chiba, Japan	AB642613	This study					
	NaD56 (NUGB-NA0039)	Sanbanze, Chiba, Japan	AB642613	This study					
	NaD57 (NUGB-NA0039)	Sanbanze, Chiba, Japan	AB642613	This study					
	NaD58 (NUGB-NA0039)	Sanbanze, Chiba, Japan	AB642613	This study					
	NaD59 (NUGB-NA0039)	Sanbanze, Chiba, Japan	AB642613	This study					
	NaD60 (NUGB-NA0039)	Sanbanze, Chiba, Japan	AB642613	This study					
	NaD61 (NUGB-NA0039)	Sanbanze, Chiba, Japan	AB642613	This study					
	NaD62 (NUGB-NA0039)	Sanbanze, Chiba, Japan	AB642613	This study					
	NaD63 (NUGB-NA0039)	Sanbanze, Chiba, Japan	AB642613	This study					
	NaD64 (NUGB-NA0039)	Sanbanze, Chiba, Japan	AB642613	This study					
	NaD65 (NUGB-NA0039)	Sanbanze, Chiba, Japan	AB642613	This study					
	NaD66 (NUGB-NA0039)	Sanbanze, Chiba, Japan	AB642613	This study					
	NaD67 (NUGB-NA0039)	Sanbanze, Chiba, Japan	AB642613	This study					
	NaD68 (NUGB-NA0039)	Sanbanze, Chiba, Japan	AB642613	This study					
	NaD69 (NUGB-NA0039)	Sanbanze, Chiba, Japan	AB642613	This study					
	NaD70 (NUGB-NA0039)	Sanbanze, Chiba, Japan	AB642613	This study					
	NaD71 (NUGB-NA0039)	Sanbanze, Chiba, Japan	AB642613	This study					
	NaD72 (NUGB-NA0039)	Sanbanze, Chiba, Japan	AB642613	This study					
	NaD73 (NUGB-NA0039)	Sanbanze, Chiba, Japan	AB642613	This study					
	NaD74 (NUGB-NA0039)	Sanbanze, Chiba, Japan	AB642613	This study					
	NaD75 (NUGB-NA0039)	Sanbanze, Chiba, Japan	AB642613	This study					
	NaD76 (NUGB-NA0039)	Sanbanze, Chiba, Japan	AB642613	This study					
	NaD77 (NUGB-NA0039)	Sanbanze, Chiba, Japan	AB642613	This study					
	NaD78 (NUGB-NA0039)	Sanbanze, Chiba, Japan	AB642613	This study					
	NaD79 (NUGB-NA0039)	Sanbanze, Chiba, Japan	AB642613	This study					
	NaD80 (NUGB-NA0039)	Sanbanze, Chiba, Japan	AB642613	This study					
	NaD81 (NUGB-NA0039)	Sanbanze, Chiba, Japan	AB642613	This study					
	NaD82 (NUGB-NA0039)	Sanbanze, Chiba, Japan	AB642613	This study					
	NaD83 (NUGB-NA0039)	Sanbanze, Chiba, Japan	AB642613	This study					
	NaD84 (NUGB-NA0039)	Sanbanze, Chiba, Japan	AB642613	This study					
	NaD85 (NUGB-NA0039)	Sanbanze, Chiba, Japan	AB642613	This study					
	NaD86 (NUGB-NA0039)	Sanbanze, Chiba, Japan	AB642613	This study					
	NaD87 (NUGB-NA0039)	Sanbanze, Chiba, Japan	AB642613	This study					
	NaD88 (NUGB-NA0039)	Sanbanze, Chiba, Japan	AB642613	This study					
	NaD89 (NUGB-NA0039)	Sanbanze, Chiba, Japan	AB642613	This study					
	NaD90 (NUGB-NA0039)	Sanbanze, Chiba, Japan	AB642613	This study					
	NaD91 (NUGB-NA0039)	Sanbanze, Chiba, Japan	AB642613	This study					
	NaD92 (NUGB-NA0039)	Sanbanze, Chiba, Japan	AB642613	This study					
	NaD93 (NUGB-NA0039)	Sanbanze, Chiba, Japan	AB642613	This study					
	NaD94 (NUGB-NA0039)	Sanbanze, Chiba, Japan	AB642613	This study					
	NaD95 (NUGB-NA0039)	Sanbanze, Chiba, Japan	AB642613	This study					
	NaD96 (NUGB-NA0039)	Sanbanze, Chiba, Japan	AB642613	This study					
	NaD97 (NUGB-NA0039)	Sanbanze, Chiba, Japan	AB642613	This study					
	NaD98 (NUGB-NA0039)	Sanbanze, Chiba, Japan	AB642613	This study					
	NaD99 (NUGB-NA0039)	Sanbanze, Chiba, Japan	AB642613	This study					
	NaD100 (NUGB-NA0039)	Sanbanze, Chiba, Japan	AB642613	This study					
	NaD101 (NUGB-NA0039)	Sanbanze, Chiba, Japan	AB642613	This study					
	NaD102 (NUGB-NA0039)	Sanbanze, Chiba, Japan	AB642613	This study					
	NaD103 (NUGB-NA0039)	Sanbanze, Chiba, Japan	AB642613	This study					
	NaD104 (NUGB-NA0039)	Sanbanze, Chiba, Japan	AB642613	This study					
	NaD105 (NUGB-NA0039)	Sanbanze, Chiba, Japan	AB642613	This study					
	NaD106 (NUGB-NA0039)	Sanbanze, Chiba, Japan	AB642613	This study					
	NaD107 (NUGB-NA0039)	Sanbanze, Chiba, Japan	AB642613	This study					
	NaD108 (NUGB-NA0039)	Sanbanze, Chiba, Japan	AB642613	This study					
	NaD109 (NUGB-NA0039)	Sanbanze, Chiba, Japan	AB642613	This study					
	NaD110 (NUGB-NA0039)	Sanbanze, Chiba, Japan	AB642613	This study					
	NaD111 (NUGB-NA0039)	Sanbanze, Chiba, Japan	AB642613	This study					
	NaD112 (NUGB-NA0039)	Sanbanze, Chiba, Japan	AB642613	This study					
	NaD113 (NUGB-NA0039)	Sanbanze, Chiba, Japan	AB642613	This study					
	NaD114 (NUGB-NA0039)	Sanbanze, Chiba, Japan	AB642613	This study					
	NaD115 (NUGB-NA0039)	Sanbanze, Chiba, Japan	AB642613	This study					
	NaD116 (NUGB-NA0039)	Sanbanze, Chiba, Japan	AB642613	This study					
	NaD117 (NUGB-NA0039)	Sanbanze, Chiba, Japan	AB642613	This study					
	NaD118 (NUGB-NA0039)	Sanbanze, Chiba, Japan	AB642613	This study</td					